

金沢工業大学 正員 今井 智
 金沢工業大学 正員 中川武夫
 金沢工業大学 正員 本田秀行

1. 緒言

河床波の形態及びその形成機構に関する研究は河川工学における主要テーマの一つとして古くから精力的な研究がなされてきた。¹⁻³⁾ 実際の河床波の形態が三次元的であり、かつその大きさが不規則であることは指摘するまでもないことであるが、この種の不規則現象を解析するための一つの有効な方法としてスペクトル解析がある。^{4), 5)}

Nordin & Algert の河床波スペクトルに関するバイオニア的研究に統いて Hino⁵⁾ は砂堆のスペクトル密度が高波数帯域において波数の -3 来に従事すると言えているが、この結論が砂洲のスペクトルに適用できるかどうかは明らかではない。

本論文では、まず交互砂洲及び菱形砂洲のスペクトル解析及びその結果の考察を行なう。

2. 実験及び解析方法

Fig.1 は実験に使用した水路の平面図及び側面図を示す。水路上流端の灌水部と下流端の澁砂部の間に厚さ 0.1 m の砂を敷き、砂面勾配を 1/100 に設定した。統いて、図示のように長さ 3 m、幅 0.15 m、厚さ 10 mm の二枚のアクリル板を砂面壁面が互いに平行かつ間隔が 0.1 m となるよう砂面に対して垂直に立ち立てた。すなわち、これら二枚のアクリル板が水路側壁となり、この間の長さ 3 m、幅 0.1 m の砂層が水路床となるわけである。使用した砂の中央粒径は 0.31 mm であり、その比重は約 2.65 である。また、Table 1 には代表的な水理パラメーターの値を掲げた。

実験の解析にあたっては、水路入口端の中央を原点とし、水流方向を x 軸、左岸方向を y 軸の正方向とした。また、z 軸の基準面は初期水路床とし、上方を z の正方向とした。実験経過時間との時間原点は水流が水路入口に到達した瞬間である。各実験の通水時間はいずれも 25 分間であり、通水終了後、実験対象区間である $100 \text{ cm} < x < 250 \text{ cm}$ について $y = -25 \text{ mm}$ 及び 0 mm の面図に沿う河床縦断面形状の測定水流方向へ 10 mm 間隔ごとに進行した。⁶⁾

統して、これらのデータを用いて最大エントロピー法による河床波のスペクトル解析を行なった。

3. 実験結果及考察

実験 1 & 2 の場合には水流が水路床に交互砂洲、菱形砂洲が形成された。Fig.2(a,b) は水流が $y = -25 \text{ mm}$ 及び 0 mm に沿う実験 1 の場合の河床縦断面形状を、一方 Fig.3(a,b) には実験 2 の場合の同様の河床縦断面形状を示す。これらの場合、河床縦断面形状が標準 y に従事する上、又河床が不規則な砂の堆積が構成されていることを知ることが可能である。

Fig.4(a,b) はそれぞれ Fig.2(a,b) に示した河床波のスペクトル密度を示す。Fig.4(a) のスペクトル密度は波数 $k = 0.05 [\text{c}/\text{m}]$ から急激に増加し $k = 0.29 [\text{c}/\text{m}]$ でいったん最大となたり、波数の増加に伴なつて平均的には $k^{-2.2}$ 以後減少する。但し、その減少の仕方は单调ではなく、図のようによ下の振動をくり返す。これに反し、Fig.4(b) のスペクトル密度は、 $k = 0.05 [\text{c}/\text{m}]$ から $0.35 [\text{c}/\text{m}]$ の波数範囲においては $k^{-1.2}$ に従

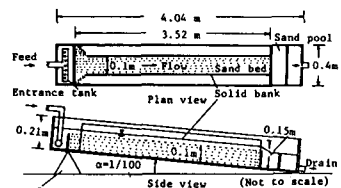


Fig.1 Schematic diagram of the experiment.

Table 1 Hydraulic parameters.

	Experiment 1	Experiment 2
Flow rate [cm ³ /s]	300	333
Mean velocity $U [\text{cm}/\text{s}]$	29	25
Mean depth $d [\text{cm}]$	1.03	1.31
Froude no. $F = U/\sqrt{gd}$	0.92	0.71
Channel width $w [\text{cm}]$	10	10
Depth/width d/w	0.10	0.13

て単調に減少する。しかし、これより大きな波数範囲においては図のよう下の振動をくり返して平均的には $k^{-2.3}$ は従って減少する。

一方、Fig.5(a,b) はFig.3(a,b) に示した河床波のスペクトル密度を示す。

Fig.5(a) のスペクトル密度は $k=0.05$ [c/m] から漸減し $k=0.3$ [c/m] で最大となる。 $\propto = 3.6$ 。

$0.3 \leq k \leq 2.0$ [c/m] の波数範囲ではこのスペクトル密度が $k^{-2.7}$ 程度の漸減率に従って比較的単調に減少し、以後は漸減し上下振動をくり返しながら平均的には $k^{-1.0}$ は従って減少する。また、Fig.5(b) のスペクトル密度は、 $0.05 \leq k \leq 0.4$ [c/m] と $0.4 \leq k \leq 1.8$ [c/m] の波数範囲において、平均波長は $k^{-0.1} \propto k^{-3.0}$ は従って単調に減少するが、以後は漸減し上下振動をくり返しながら平均的には $k^{-0.6}$ は従って減少していくことがわかる。

4. 結論

- 1)砂堆のスペクトル密度の高波数帯域において成立する波数の -3 乗則は一般に砂洲のスペクトル密度には適用できない。
- 2)砂洲のスペクトル密度は水路横方向の座標に依存する。
- 3)交互砂洲・菱形砂洲のスペクトル形状を比較すると、後者の場合にはスペクトルが比較的単調に減少する中間波数帯域があるのが特徴的である。

参考文献

- 1.Exner, F.M.(1925) Über die Wechselwirkung zwischen Wasser und Geschiebe in Flüssen. Sitzungsberichte der Academie der Wissenschaften in Wien, 3-4, 165-180.
- 2.Liu, H.K.(1957) Mechanics of sediment-ripple formation. Proc. ASCE 83, HY2, paper 1197 (1-21).
- 3.Kennedy, J.F.(1963) The mechanics of dunes and anti-dunes in erodible-bed channels. J. Fluid Mech. 16, 521-544.
- 4.Nordin, C.F. & Algert, J.H.(1966) Spectral analysis of sand waves. Proc. ASCE 92, HY5, 95-114.
- 5.Hino, M.(1968) Equilibrium-range spectra of sand waves formed by flowing water. J. Fluid Mech. 34, 565-573.
- 6.Burg, J.P.(1967) Maximum entropy spectral analysis. Paper presented at 37th meeting, Soc. of Explor. Geophys. Oklahoma city.

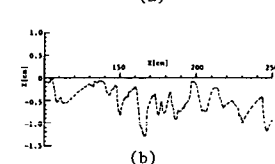
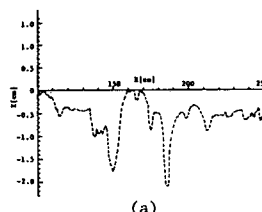


Fig.2 Longitudinal bed profiles in experiment 1.
(a) along $y=-25$ mm,
(b) along $y=0$ mm.

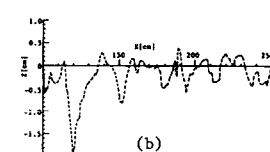
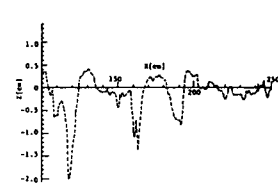


Fig.3 Longitudinal bed profiles in experiment 2.
(a) along $y=-25$ mm,
(b) along $y=0$ mm.

Fig.4 Power spectral densities in experiment 1.
(a) along $y=-25$ mm,
(b) along $y=0$ mm.

Fig.5 Power spectral densities in experiment 2.
(a) along $y=-25$ mm,
(b) along $y=0$ mm.